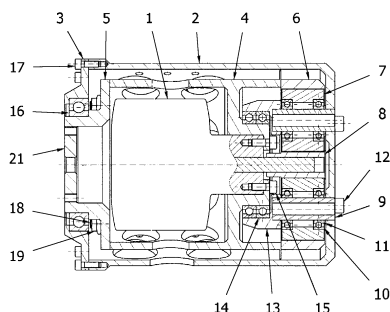


na łożyskach głównych (14, 16), umieszczonych po obu stronach silnika (1) przy czym bieżnia wewnętrzna łożyska głównego (14) oparta jest na korpusie wewnętrznym (4), a łożyska głównego (16) na pokrywie silnika (5) natomiast bieżnia zewnętrzna łożyska głównego (16) oparta jest na pokrywie (3), a łożyska głównego (14) na koszu przekładni planetarnej (13).

(7 zastrzeżeń)



A1 (21) 423398 (22) 2017 11 09

(51) F24C 11/00 (2006.01)

F42C 11/02 (2006.01)

F42C 14/00 (2006.01)

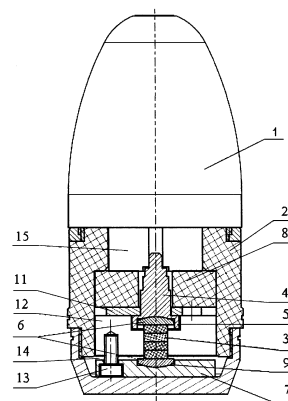
(71) ZAKŁADY METALOWE DEZAMET SPÓŁKA AKCYJNA, Nowa Dęba

(72) SICIARZ GRZEGORZ; MAZUR PAWEŁ; MAŁEK MARCIN; GUZIK MAREK

(54) Zapalnik elektroniczny programowalny, zwłaszcza do naboju granatnikowych i układ zasilająco-sterujący zapalnika elektronicznego programowalnego, zwłaszcza do naboju granatnikowych

(57) Zapalnik elektroniczny programowalny, zwłaszcza do naboju granatnikowych, zawierający zespół elektroniki oraz wielowarstwowy piezogenerator jako źródło zasilania zespołu elektroniki zapalnika, poddany działaniu siły ściskającej występującej podczas przyspieszenia pocisku w momencie strzału, charakteryzuje się tym, że jego piezogenerator (3) jest umieszczony pomiędzy sferycznymi podkładkami centrującymi (6), z których jedna jest osadzona w kołnierzonej podstawie (5) bezwładnika (4) a druga jest osadzona na wsporniku (7) usztywniającym dno pocisku (1), mocowanym do zespołu elektroniki (8) z zachowaniem szczeliny dystansowej (14). Układ zasilająco-sterujący zapalnika elektronicznego programowalnego, zwłaszcza do naboju granatnikowych, zawierający zespół elektroniki, wielowarstwowy piezogenerator jako źródło zasilania zespołu elektroniki, układ prostownika napięcia, spłonkę elektryczną oraz układ mikroprocesora, przy czym układ prostownika napięcia jest połączony z biegunem dodatnim piezogeneratorskiego, którego biegun ujemny jest połączony z masą zespołu elektroniki zapalnika, charakteryzuje się tym, że zespół elektroniki (8) zapalnika ma przetwornicę obniżającą napięcie impulsu elektrycznego korzystnie do wartości 3V, przetwornicę obniżającą napięcie impulsu elektrycznego korzystnie do wartości 17 V, układ podbijania napięcia, klucz spłonki elektrycznej, układ radiowy, zespół cewek i układ komparacji napięcia, przy czym układ prostownika napięcia jest połączony z przetwornicą obniżającą napięcie impulsu elektrycznego korzystnie do wartości 3V i przetwornicą obniżającą napięcie impulsu elektrycznego korzystnie do wartości 17 V, połączoną z zespołem cewek i układem podbijania napięcia, który poprzez zespół cewek jest połączony z kluczem spłonki elektrycznej, połączonym ze spłonką elektryczną i mikroprocesorem, z którym jest również połączona przetwornica obniżająca napięcie impulsu elektrycznego korzystnie do wartości 3 V, przetwornica obniżająca napięcie impulsu elektrycznego korzystnie do wartości 17 V, układ podbijania napięcia, układ komparacji napięcia i układ radiowy, który jest ponadto połączony z przetwornicą obniżającą napięcie impulsu elektrycznego korzystnie do wartości 3 V.

(4 zastrzeżenia)



A1 (21) 423370 (22) 2017 11 07

(51) F24D 19/06 (2006.01)

F28D 1/047 (2006.01)

F28D 1/053 (2006.01)

F24H 3/00 (2006.01)

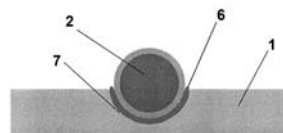
(71) INSTAL-PROJEKT GAWŁOWSCY, ŚCIERZYŃSCY SPÓŁKA JAWNA, Nowa Wieś

(72) PIERNIKOWSKI PRZEMYSŁAW; RUDZIŃSKI BARTŁOMIEJ; GAZDA KAROLINA

(54) Grzejnik płytowy o zwiększonej efektywności cieplnej

(57) Przedmiotem wynalazku jest grzejnik płytowy o zwiększonej efektywności cieplnej, posiadający płytę czołową, która pełni rolę promiennika ciepła oraz rurowy wymiennik ciepła umieszczony za tą płytą, przy czym w powierzchni tylnej płyty wykonany jest kanał, w którym umieszczony jest częściowo lub całkowicie rurowy wymiennik ciepła, a pomiędzy kanałem (7) a rurowym wymiennikiem ciepła (2) znajduje się warstwa kleju termoprzewodzącego (6).

(10 zastrzeżeń)



DZIAŁ G

FIZYKA

A1 (21) 423392 (22) 2017 11 08

(51) G01D 3/02 (2006.01)

(71) KAŃTOCH ELIASZ, Kraków

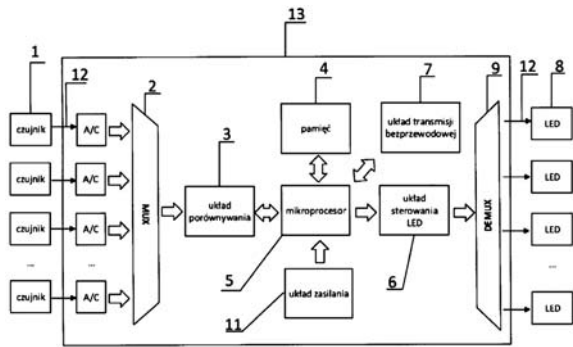
(72) KAŃTOCH ELIASZ; KAŃTOCH ANNA

(54) Sposób i urządzenie do pomiaru i sygnalizacji wartości biosygnalów

(57) Przedmiotem zgłoszenia jest sposób i urządzenie do pomiaru i sygnalizacji wartości biosygnalów, w szczególności służące do wykrywania i sygnalizacji zagrożenia stanu zdrowia człowieka, w szczególności poprzez wyświetlanie na matrycy LED (8) napisów prześwitujących spod odzieży, np. koszulki. Sposób charakteryzu-

je się tym, że sygnały otrzymane z czujników (1) multipleksuje się w multiplexerze (2), a uzyskany sygnał porównuje się z sygnałem danych wzorcowych. Na tej podstawie wyświetla się na matrycy diod LED (8) napisy lub barwy. Urządzenie zawiera odzież, korzystnie koszulkę, na której umieszczono mikroprocesor (5) oraz połączone z nim: układ porównywania (3), układ sterowania LED (6), a na odzieży umieszczono również matrycę LED (8) połączoną z układem sterowania LED (6). Ponadto, układ porównywania (3) połączony jest z wyjściem multiplexera (2) umieszczonego na odzieży, zaś wejścia multiplexera (2) połączone są z czujnikami (1) służącymi do pomiarów biosygnalów. Opcjonalnie matryca LED (8) połączona jest z układem sterowania LED (6) poprzez demultiplexer (9), co umożliwia wyświetlanie napisów.

(17 zastrzeżeń)



A1 (21) 423382 (22) 2017 11 07

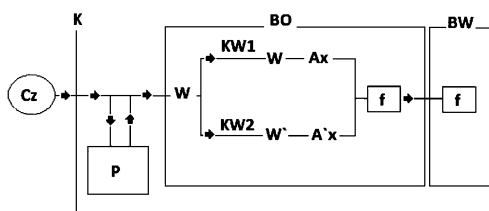
(51) G01H 1/00 (2006.01)
G01M 7/02 (2006.01)
G01M 13/00 (2006.01)

(71) INSTYTUT TRANSPORTU SAMOCHODOWEGO,
Warszawa(72) SZCZEPAŃSKI TOMASZ; TRACZYK STANISŁAW;
DZIEDZIAK PAWEŁ

(54) Sposób pomiaru częstotliwości drgań

(57) Przedmiotem wynalazku jest sposób pomiaru częstotliwości drgań, stosowany w diagnostyce urządzeń mechanicznych, w szczególności diagnostyce samochodowej. Sposób pomiaru częstotliwości drgań zwłaszcza nadwozia pojazdu mechanicznego, charakteryzuje się tym, że za pomocą czujnika (Cz) dokonującego pomiaru drgań przebiegu zmienności zadanej wartości fizycznej, przyspieszenia drgań od wartości wzorcowej. Uzyskane wartości konwertuje się na sygnał cyfrowy będący nośnikiem pozyskanych wyników (W). Sygnał ten przekazuje się do pamięci urządzenia komputerowego (K), do bloku obliczeń (BO), w którym to sygnał wyników (W) rozdziela się równolegle na kanały. Następnie jednego z kanałów sygnału z uzyskanych wartości (W) za pomocą algorytmu matematycznego oblicza się pochodną pozyskanych wartości (W'). Z wartości pierwotnych wyników (W) i z wartości pochodnych (W') wyznacza się amplitudy (A'x)(Ax). Wyznacza się częstotliwość drgań (f), która jest wprost proporcjonalna do amplitudy pochodnej sygnału (A'x) i odwrotnie proporcjonalna do podwojonego iloczynu stałej π i amplitudy sygnału (Ax). Uzyskany wynik prezentuje się w bloku wyniku (BW), korzystnie na ekranie urządzenia komputerowego (K).

(3 zastrzeżenia)



A1 (21) 423419 (22) 2017 11 10

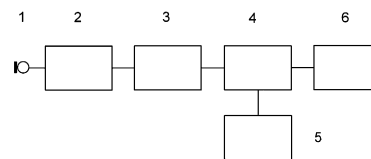
(51) G01H 17/00 (2006.01)

(71) INSTYTUT MEDYCyny PRACY I ZDROWIA
ŚRODOWISKOWEGO, Sosnowiec;
MACIEJCZYK JERZY JM, Warszawa(72) SZŁAPA PIOTR ANDRZEJ;
MARCZAK WOJCIECH ANDRZEJ; MATUSIAK JOLANTA;
WYCIŚLIK-SOŚNIERZ JOANNA; MACIEJCZYK JERZY

(54) Miernik poziomu dźwięku

(57) Wynalazek dotyczy miernika badanego źródła, mającego mikrofon pomiarowy, połączony z blokiem obwodów wejściowych, którego wyjście jest połączone z wejściem układu analizy poziomu dźwięku L_1 w wybranym paśmie częstotliwości, którego wyjście jest połączone z układem prezentacji wyników, cechującego się tym, że układ (3) analizy poziomu dźwięku L_1 pracuje w pasmach częstotliwości o szerokości 1/3 oktawy z zakresu 8 kHz do 50 kHz, a mierzone w tych pasmach poziomy dźwięku L_1 są przeliczane przez układ obliczeniowy (4) na równoważny poziom dźwięku L_{Aeq} w paśmie słyszalnym, w oparciu o dostępne w bazie danych (5) charakterystyki częstotliwościowe (sygantury) badanych źródeł dźwięku, zaś uzyskany wynik jest prezentowany przez układ prezentacji wyników (6). Korzystnie, układ (3) analizy poziomów dźwięku L_1 pracuje w takich pasmach częstotliwości, o szerokości 1/3 oktawy, w których wpływ innych źródeł hałasu na wynik pomiaru jest pomijalnie mały, tj. w których wartości mierzone łącznie dla źródeł zakłócających są mniejsze od wartości występujących (mierzonych) w tym samym paśmie w widmie hałasu emitowanego przez badane źródło. Zgodnie z wynalazkiem, pomiary poziomów dźwięku L_1 dokonywane są w zakresach częstotliwości spoza zakresu częstotliwości słyszalnych dla człowieka, zwłaszcza wyższych niż częstotliwości słyszalne.

(3 zastrzeżenia)



A1 (21) 428552 (22) 2019 01 10

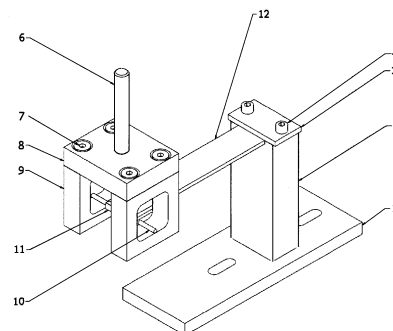
(51) G01N 3/04 (2006.01)
G01N 3/20 (2006.01)

(71) POLITECHNIKA LUBELSKA, Lublin
(72) SAMBORSKI SYLWESTER; PAŚNIK JAKUB

(54) Uchwyt do zginania belek kompozytowych

(57) Uchwyt do zginania belek kompozytowych w konfiguracji ELS składa się z podstawy (1), przytwierdzonego do niej słupa (2) z rowkiem za pomocą śrub oraz płyty dociskowej (3) mocowanej do niego z wykorzystaniem śrub (4). Część chwytowa natomiast składa się z jarzm (9) w otworach, których znajduje się pręt obciążający (10), połączonych blachą nośną (8) z użyciem śrub (7) oraz z trzpienia (6) przytwierdzonego do blachy nośnej (8).

(1 zastrzeżenie)



Data wprowadzenia zmiany zastrzeżeń: 2019 02 20